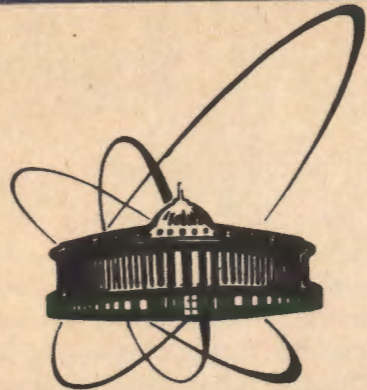


91-505



сообщения
объединенного
института
ядерных
исследований
дубна

P2-91-505

В.С.Барашенков, А.Н.Соснин, С.Ю.Шмаков

о радиационных дефектах
в стриповых детекторах

1991

где N_0 - реальный поток бомбардирующих частиц, a - толщина пленки.
 \sum_{tot} - макроскопическое сечение упругого и неупругого взаимодействия частицы с ядром кремния.

Число дефектов, образуемых ядром с кинетической энергией $E^{4,5}$:

$$N(E)_{def} = \frac{1}{2E_d} \int_0^E (dE/dx)_{upr} / (dE/dx)_{tot} dE,$$

где $E_d = 13$ МэВ - пороговая энергия смещения атома, dE/dx - ионизационные потери, которые при высоких энергиях рассчитывались с помощью феноменологической аппроксимации Стернхаймера^{6/}, при очень низких энергиях - на основе теории Линдкарда-Шарфа^{7/}, а в промежуточной области использовалась феноменологическая аппроксимация^{8/}. Дефектообразование протоном и α -частицей рассчитывалось тем же способом, как и в работе^{9/}.

С другими деталями расчета можно познакомиться в наших работах^{8,10,11/}.

На рис.1 приведены расчетные энергетические зависимости пробега бомбардирующих частиц, полного числа дефектов, образуемых частицей с энергией E до ее полной остановки в веществе детектора или выхода из него, и соответствующей плотности их образования при энергии E в расчете на 1 см. В случае протонов и α -частиц эти зависимости близки к приведенным в работе^{9/}. Данные для ионов ^{28}Si характеризуют дефектообразование ядрами отдачи, дающими весьма существенный вклад в суммарное дефектообразование. Как видно, замена протона α -частицей увеличивает число дефектов примерно на порядок, переход к иону кремния увеличивает их число еще на полтора порядка.

На рис.2 показано пространственное распределение дефектов $\Delta N / \Delta S$, где $\Delta S = \pi(r_2^2 - r_1^2) \approx 2\pi r \Delta r$, r - расстояние от оси пучка первичных частиц. Там же приведены аппроксимирующие кривые

$$\Delta N / \Delta S = a r^{-b}$$

где $a = 8,14 \cdot 10^7$, $b = 2,82$ для протонов, $a = 5,76 \cdot 10^9$, $b = 3,88$ для нейtronов.

Число дефектов, образующихся в пучке нейтронов, почти на два порядка превосходит их число, образуемое протонами при $E=3,65$ ГэВ. Однако пространственные распределения в этих случаях различаются не очень значительно.

На рис.2 отдельно показаны также вклады частиц с электрическими зарядами $z=1$, $z=2$ и $z > 2$. В нейтронном пучке ядра отдачи дают вклад лишь вблизи оси $z \sim 0$ (при облучении

Таблица I

Сечение рождения протона нейроном с энергией Е

N группы E, МэВ	1 10.5 - 6.5	2 6.5-4.0	3 4.0-2.5	4 2.5 - 1.4
мб	123	236	162	71

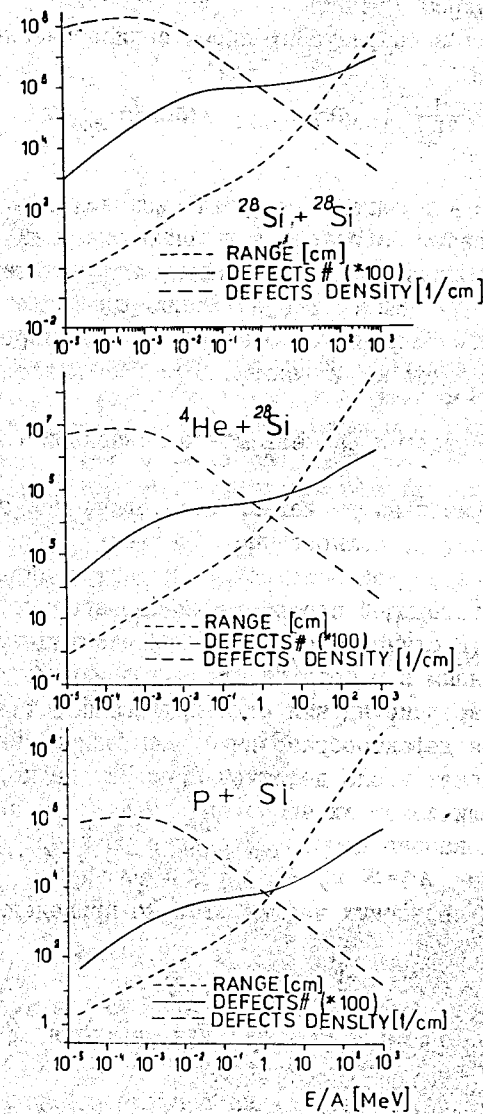


Рис.1. Пробег бомбардирующей частицы r (см), плотность образования дефектов $n_{\text{деф.}}$ ($1/\text{см}^2$) и полное число образующихся дефектов $N_{\text{деф.}, E}$ — энергия бомбардирующей частицы.

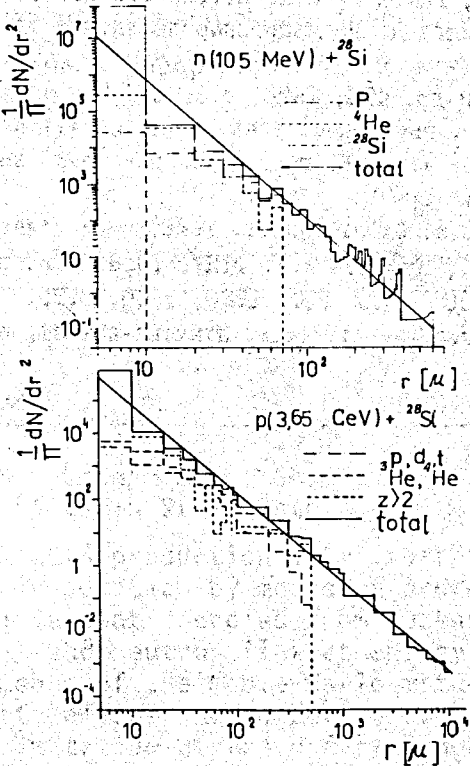


Рис.2. Радиальное распределение дефектов. Показаны распределения, за которые ответственны различные типы каскадных частиц.

протонами их вклад заметен вплоть до долей миллиметра). Сопоставление расчетных данных, подобных приведенным на рис.2, позволяет сделать вывод о возможности имитации повреждений стриповых детекторов путем замены одних пучков другими, более удобными с экспериментальной точки зрения.

Литература

1. Астахов В.И. и др. Сообщение ОИИИ, Р13-90-7, Дубна, 1990.
2. Абагян Л.П. и др. Групповые константы для расчета реакторов и защиты. Атомиздат, М., 1981.
3. Щеболев В.Т., Рамендик З.А. Ат., Эн., 1977г. 43, с.54.
4. Динс Д., Виннирд Д. Радиационные дефекты в твердых телах. ИЛ, М., 1960.
5. Космач В.Ф. и др. ФТИ, 1972, т.6, с.420.
6. Sternheimer R. Phyz. Rev. 1966, v.145, p.247; 1977, v.313, p.3681
7. Lindhard J. et al. Mat. Fyz. Medd. Dan. Vid. Selsk. 1963, N 33(14), p.1 .
8. Barashenkov V.S. et al. Nucl. Inst. Meth. 1991, v. B58, p.157.
9. Булгаков Ю.В., Кумахов М.А. ФТИ., 1968, т.2, с.1603.
10. Барашенков В.С. и др. ЖТФ, 1990, т.60, с.75.
- II. Barashenkov V.S. et al. Comm. JINR E2-89-437, Dubna, 1989.

Рукопись поступила в издательский отдел
20 ноября 1991 года.